

تحليل جغرافي للجفاف واثره في الغطائين النباتي والمائي في قضاء علي الغربي باستخدام مؤشر SPI وقرينتي NDVI و NDWI

نادية حاتم طعمة العتابي
كلية التربية للعلوم الإنسانية / جامعة واسط
nadiyah222@uowasit.edu.iq

Abstract-

Arid and semi-arid environments are characterized by what is known as climatic drought, which is one of its basic characteristics that has received great attention in recent years due to its direct impact on agricultural, economic and population activities due to the natural disasters of drought and its negative effects.

The study included several axes, the first of which was to show the concept of drought, its types and forms, and then the second axis to explain the effect of climatic characteristics on the occurrence and recurrence of dry seasons in the region, while the third axis showed the concept of the Standarzid precipitation index (SPI) and the variation of its categories in the study area for the period (1988). -2018), as the fall season recorded the highest frequency of dry seasons with (51.6, 54.8) for Dahlran and Ali Al Gharbi stations, respectively. As for the fourth axis, it dealt with the impact of drought on the decline of vegetation and water cover in the dry seasons of 2018 than in the wet seasons in 2007.

المستخلص :-

البيئات الجافة وشبه الجافة بما يعرف بالجفاف المناخي الذي يعد أحد صفاتها الأساسية التي باتت تحظى باهتماماً بالغاً في السنوات الأخيرة وذلك لتأثيرها المباشر في الأنشطة الزراعية والاقتصادية والسكنية بسبب الكوارث الطبيعية للجفاف وتأثيراتها السلبية.

تضمنت الدراسة عدة محاور جاء أولها ليبين مفهوم الجفاف وانواعه واشكاله، ثم تلاه المحور الثاني ليوضح اثر الخصائص المناخية في حدوث وتكرار مواسم الجفاف في المنطقة في حين بين المحور الثالث مفهوم Standarzid precipitation مؤشر الأمطار القياسي (index SPI) وتبين فئاته في منطقة الدراسة لمدة (١٩٨٨-٢٠١٨)، إذ سجل فصل الخريف أعلى نسبة تكرار للموسم الجافة بواقع (٥٤.٨ ، ٥١.٦) لمحطتي دهلان وعلي الغربي على التوالي. أما المحور الرابع فقد تناول اثر الجفاف على تراجع الغطائين النباتي والمائي في المواسم الجافة للعام ٢٠١٨ عنه في المواسم الرطبة في عام ٢٠٠٧.

الكلمات الدالة: الجفاف المناخي، الجفاف الهيدرولوجي، شحة الامطار ، الموسم الجاف ، الموسم الرطب

Geographical analysis of drought and its impact on vegetation and water cover in Ali Al-Gharbi district using the SPI index and the two peers NDVI and NDWI

Nadia Hatem Tuama
Wasit University- College of Education for Human Sciences

تقع منطقة الدراسة فلكياً بين دائريتي عرض $32^{\circ}27'42.70''N$, $46^{\circ}41'16.58''E$ ، اما جغرافيا فتتمثل حدودها بالحدود الادارية لقضاء علي الغربي الذي يشغل الجزء الشمالي الشرقي من محافظة ميسان، كما يظهر في خريطة (١)، ويحدها من الشمال محافظة واسط، ومن الجنوب قضاء العماره، ومن الغرب محافظة ذي قار، بينما يحدها من الشرق جمهورية ايران الاسلامية. وتقدر مساحة منطقة الدراسة بـ(٢٢٨٣ كم^٢).

٢- الحدود الزمنية:

تتمثل الحدود الزمنية للدراسة بالمدة (١٩٨٩-٢٠١٨).

-: Problem of Study

تتمثل مشاكل الدراسة في الآتي:-

- مامدى تكرار نوبات الجفاف الشديدة جدا والشديدة ومتوسطة الشدة والمعتدلة في المواسم الجافة في منطقة الدراسة ؟
- ما الآثار البيئية السلبية الناتجة عن الجفاف في الغطائين النباتي والمائي في منطقة الدراسة ؟

-: Hypothesis of Study

- تكرر نوبات الجفاف بشكل واضح في المواسم الجافة عنه في المواسم الرطبة في منطقة الدراسة.
- يتسبب الجفاف بأثار بيئية سلبية تتمثل بتقلص وتراجع مساحة الغطائين النباتي والمائي في المواسم الجافة وزيادتها في المواسم الرطبة في منطقة الدراسة.

-: Objectives of Study

تهدف الدراسة الى تسلیط الضوء على ظاهرة الجفاف المناخي باستخدام مؤشر المطر القياسي (SPI) وتحديد تكرار المواسم الجافة والرطبة في منطقة الدراسة وأثارها على تباين الغطاء النباتي والغطاء المائي باستخدام قرينتي (NDVI) و (NDWI) في المواسم الجافة والرطبة خلال مدة الدراسة.

:Key words

، Hydrological drought ، Climatic drought
Wet season ، Dry season ، Scarcity of rain

:Introduction

يشير الجفاف الى حدوث حالة عدم اتزان طبيعي يحصل ذلك بشكل مؤقت ومتكرر، لا يتحدد بإقليم مناخي معين بل يمكن ان يمتد لنطاقات بيئية اخرى، وهو من الموضوعات بالغة الأهمية في شتى احياء العالم وخاصة البيئات الهشة، إذ تتبادر شدته وآثاره بتباين النظم البيئية والظروف الاجتماعية والاقتصادية والفنية في النطاقات المعرضة لخطر الجفاف. وهو من أشد الكوارث الطبيعية تأثيراً، إذ يحتل المركز الأول بين ٣١ نوعاً من الكوارث الطبيعية منها الفيضانات والأعاصير المدارية والبراكين والزلزال.

كما تعددت أسباب حدوث نوبات الجفاف وجاء ابرزها التغير المناخي، وارتفاع معدلات درجة الحرارة والتلوّر.

تعد منطقة الدراسة جزءاً من السهل الرسوبي الناتج عن الحركات البانية للجبال، والتي استمرت كنشاطات تكتونية بنوية نتج عنها المظاهر الجيومورفولوجية الحالية المتمثلة بظهور المرتفعات الحالية المنتشرة في منطقة الدراسة فضلاً عن ظهور المنخفضات (الأهوار) كذلك الاودية الموسمية وإنقطاع وجفاف وتغيير مجري الأنهر (كريم، ١٩٩٢، ص ١٤١)، كما تميزت المنطقة بانحدار عام من الشرق الى الغرب فضلاً عن الانحدارات الثانوية وارتفاعها نسبياً والواضح من تقارب خطوط الارتفاع المتساوي (المعروف، ٢٠١٧، ص ٣٧١). لذا اعتمدت الدراسة بيانات محطتين مناخيتين احداهما محطة علي الغربي العراقي كمحطة رئيسية والآخر محطة دهلهان الإيرانية كمحطة ساندة وذلك لطبيعة اتجاه انحدار المنطقة وتأثيرها بالعناصر والظواهر المناخية وخاصة الامطار والرياح.

حدود منطقة الدراسة The boundaries of the

-:study area

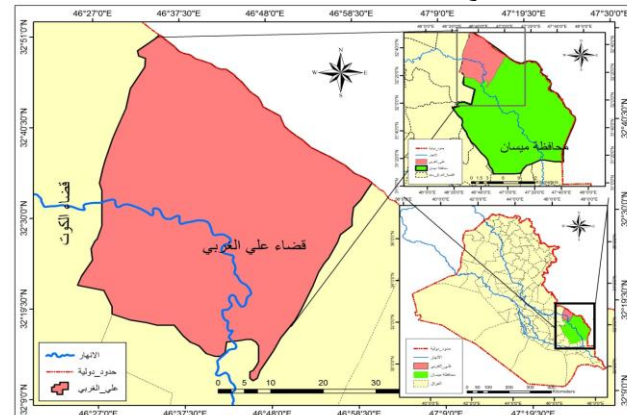
١- الحدود المكانية Spatial boundaries

التبحر (الجبوري، ٢٠١٥، ص ٢٠٥). في حين يُعرف الجفاف المناخي على أنه انخفاض كمية الأمطار أو نقصها عن معدلاتها السنوية (غانم، ٢٠١٠، ص ٢٧٨). وهو أحد أشكال ظاهرة الجفاف المرتبط بالأحوال الجوية ومقارنتها بمتوسط منطقة معينة ومدة الجفاف فعند مقارنة مستويات المطر والجفاف مع المعايير الإقليمية تظهر تباين واضح في الظروف الطقسية مؤدية إلى نقص الهطول (البديري، ٢٠١٢، ص ٨٠).

كما يمكن تحديد أربعة أنواع من الجفاف والتي تتمثل بالجفاف الدائمي أو المستمر الذي يحدث عندما تكون مجاميع الأمطار الساقطة أقل من قيم التبخر النتح الممكن مما يتطلب عمليات الري المختلفة لقيام الأنشطة الزراعية، وهناك أيضاً الجفاف المفاجئ أو الطارئ من تقلبات الأمطار أو عدم إنتظامها في المناطق الرطبة وبشهادة الرطبة، الذي يُعد من أخطر أنواع الجفاف وذلك لصعوبة التنبؤ به، كذلك الجفاف الموسمي الفصلي حيث تتراكم الأمطار في فصل معين من السنة دون سواه وخاصة في بداية الموسم المطير مما يلحق أضراراً جسيمة في المحاصيل الزراعية، أما النوع الرابع فهو الجفاف غير المنظور الذي تختفي فيه الرطوبة الجوية ورطوبة التربة لدرجة لا تسد حاجة النبات.

اما عن اشكال الجفاف فهناك الجفاف الهيدرولوجي الذي يلاحظ في انخفاض مناسب مياه الانهار والمسطحات المائية، كذلك الجفاف الزراعي الذي يرتبط بقلة رطوبة التربة للنباتات ونمو المحاصيل الزراعية، وهناك أيضاً الجفاف الاقتصادي أو الاجتماعي الذي يقصد به حدوث نقص حاد في تلبية حاجات السكان من المياه في كافة المشاريع الاقتصادية والتنموية، وأخيراً الجفاف المناخي الذي يرتبط بقلة سقوط الأمطار وتذبذبها، يحدث نتيجة للتباين في الخصائص الطبيعية للمنطقة وبالخصوص قلة الأمطار مقارنة بالكميات المعتمد عليها من الأمطار خلال مدة معينة، اذ اشارت المنظمة العالمية للأرصاد الجوية الى ان ظاهرة الجفاف تحدث عندما تقل نسبة الأمطار عن ٧٥٪ من معدلاتها العامة (منظمة الأمم المتحدة للتربية والعلم والثقافة، ٢٠١٤، ص ١٧).

خريطة (١) موقع منطقة الدراسة من العراق



المصدر: الهيئة العامة للمساحة، خرائط ذات مقاييس ١:١٠٠٠٠٠ بالاعتماد على نظام (GIS) (MAP 10.4)

اولاً- مفهوم الجفاف المناخي
الجفاف ظاهرة قديمة أخذت بالتوزع والانتشار مؤخراً بشكل واضح وكبير في مناطق دون غيرها، وقد جرت في بداية القرن العشرين محاولات علمية بالاعتماد على معايير مناخية عديدة لتحديد المناطق الجافة وبشهادة الجافة على امتداد خطوط العرض المدارية، وكان من ابرزها قانون دالتون لقياس قيم التبخر النتح، ومعادلة بنمان، تصنيف كوبن، ثورنثويت، وكذلك معادلة ديمارتون وغيرهم. إذ عُد خط المطر المتساوي (١٢٧) ملحاً فاصلاً بين المناطق الجافة والرطبة، في حين جاء خط المطر المتساوي (٢٥٠) ملحاً ليفصل بين المناطق شبه الجافة والرطبة الا انه لم يراعي في اعتباراته النطاقات التي تتسم بفصالية التساقط المطري والتي تسبب اختلاف درجة الحرارة في تلك النطاقات (السامرائي والريhani، ١٩٩٠، ص ٢٧)، وتشكل الصحاري وأشباه الصحاري حوالي (٦٦.٣٪) من مساحة الأقاليم الجافة وبشهادة الجافة التي تقدر بأكثر من (٤٠٪) من أجمالي مساحة الأرض خاصة في قارات أفريقيا وأسيا وأمريكا اللاتينية ومنطقة بحر الكاريبي (الخراشة وغنيم، ٢٠٠٩، ص ٣٠).

يُعد الجفاف ظاهرة مناخية اتسمت بشحة الأمطار وشدة الإشعاع الشمسي وارتفاع درجة الحرارة وجفاف الرياح وزيادة سرعتها وما يترتب على ذلك من ارتفاع في قيم

كما يؤدي ارتفاع درجة حرارة الجو الى ارتفاع درجة حرارة سطح التربة الملامس للجو مما يؤثر بشكل مباشر ورئيس في نمو الغطاء النباتي، إذ أثبتت الدراسات أن درجة حرارة سطح التربة تصل إلى (60°C) في حين عند عمق (10 cm) لا تتجاوز (40°C) (الريhani، ١٩٨٦، ص ٣٥).

يتضح من جدول (١) وشكل (١) تباين معدل الحرارة الشهري والسنوي في المحميات الخاضعة للدراسة، إذ سجل أعلى معدل شهري في محطة دهلان في حزيران (2.9°C)، في حين سجل أدنى معدل شهري (2.9°C) في شهر كانون الأول لنفس المحطة، كما جاء المعدل السنوي بمقدار (3.7°C).

اما بالنسبة لمحطة علي الغربي فقد بلغ أعلى معدل لدرجة حرارة شهري (6.2°C)، في حين سجل ادنى معدل شهري (3.5°C) في شهر كانون الاول للمحطة ذاتها، وبمعدل سنوي (4.5°C).

ثانياً: العناصر المناخية المؤثرة في الجفاف في منطقة الدراسة
 يتميز الزمن الرياعي (البلاستوسين والهولوسين) بحدوث تغيرات مناخية عدّة، تمثلت بمدد جليدية ومدد دافئة مطيرة وأخرى جافة (الجبوري، ١٩٩٧، ص ٢). كما يسود المناخ شبه المداري في العراق بشكل عام ومنطقة الدراسة بشكل خاص حيث ارتفاع درجة الحرارة وقلة تساقط الأمطار وقصر الفصلين الانقلابيين (الربيع والخريف)، كذلك انخفاض معدلات الرطوبة النسبية. مما يترك اثراً بارزاً على العناصر والخصائص المناخية في منطقة الدراسة وتكرار نوبات الجفاف المناخي. ويمكن توضيح ذلك كالتالي:

١- درجة الحرارة :temperature

تعد درجات الحرارة من أهم عناصر المناخ المؤثرة في الجفاف وذلك من خلال تأثيرها المباشر في عمليات التساقط والتبخّر والجفاف (الجبوري، ٢٠٠٥، ص ٧٨).

جدول (١)

المعدل الشهري والسنوي لدرجة الحرارة ($^{\circ}\text{C}$) في منطقة الدراسة لمدة من (١٩٨٩-٢٠١٨)

| المحطة | كانون الثاني | شباط | اذار | نيسان | يار | حزيران | تموز | آب | ايلول | تشرين الاول | تشرين الثاني | كانون الاول | كانون الثاني | يناير | كانون الاول |
|------------|--------------|------|------|-------|-----|--------|------|-----|-------|-------------|--------------|-------------|--------------|-------|-------------|
| دهلان | 3 | 3.3 | 3.5 | 3.6 | 4 | 4.7 | 5 | 4 | 3.6 | 3.5 | 3.3 | 3 | 3.1 | 2.9 | 3.7 |
| علي الغربي | 3.6 | 3.8 | 4.1 | 4.5 | 4.5 | 6.1 | 6.2 | 5.6 | 5 | 5.1 | 5.8 | 4.1 | 3.9 | 3.5 | 4.5 |

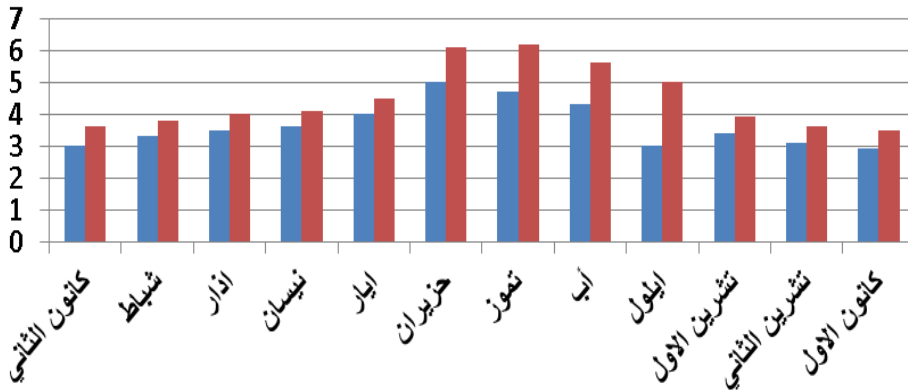
المصدر : ١- وكالة ناسا الأمريكية [/https://power.larc.nasa.gov](https://power.larc.nasa.gov)

٢- وزارة النقل، الهيئة العامة للأنواء الجوية والرصد الزلزالي، قسم المناخ (بيانات غير منشورة)، بغداد ، ٢٠١٩ .

شكل (١)

المعدل الشهري لدرجة الحرارة ($^{\circ}\text{C}$) في منطقة الدراسة لمدة من (١٩٨٩-٢٠١٨)

على الغربي ■ دهلان



المصدر: اعتماداً على جدول (١)

٢- الرياح : Wind

تعد الرياح الشمالية الغربية هي السائدة صيفاً في منطقة الدراسة والقادمة من المرتفعات الجبلية وهضاب ارمينيا والأناضول متوجهه نحو سهول دجلة والفرات والذي يرتبط بتوزيع قيم الضغط الجوي (الموسوي ، ٢٠١٩ ، ص ٥٣)، ويكون اتجاهها غربياً ومن ثم تتحول الى الإتجاه الشمالي الغربي عند وصولها الى السهل الروسي، مما يسهم في زيادة الجفاف، في حين يزداد تكرار الرياح الجنوبية الشرقية شتاءً وتتبادر زمانياً ومكانياً فيما بين محطات منطقة الدراسة. يظهر من جدول (٢)، تقارب المعدلات الشهرية والسنوية لسرعة الرياح بين محطات منطقة الدراسة، إذ سجلت محطة دهلان أعلى معدل شهري (٥ م/ث) في شهر حزيران، في حين بلغ أعلى معدل شهري (٢.٩ م/ث) في شهر كانون الاول وذلك نتيجة تكرار المرتفعات الجوية التي تعمل انخفاض درجات الحرارة واستقرار الهواء. أما بالنسبة لمحطة علي الغربي فقد جاء أعلى معدل شهري (٦.٢ م/ث) في شهر تموز في حين بلغ أعلى معدل شهري لسرعة الرياح (٣.٥ م/ث) في شهر كانون الاول للمحطة ذاتها.

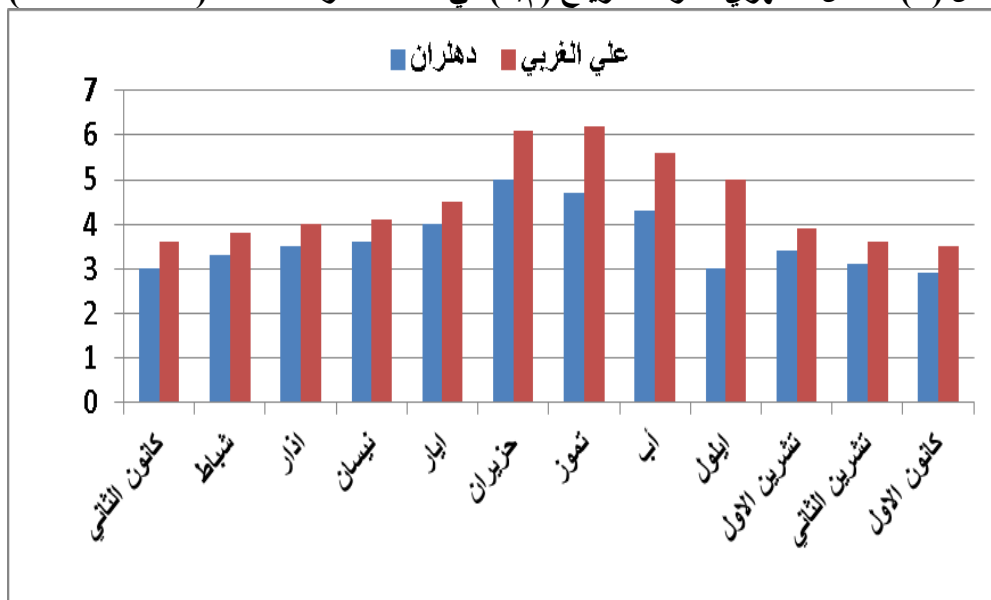
بلغ المعدل السنوي لسرعة الرياح (٤.٥ م/ث) في محطتي علي الغربي ودهلان على التوالي، مما يظهر ارتفاع معدلات سرعة الرياح في محطة علي الغربي مقارنة مع محطة دهلان ويعود ذلك لوقوع محطة علي الغربي في اراضي اكثر انسجاماً والتي تتمثل بالسهل الروسي مما يزيد من سرعة حركة الرياح مقارنة مع المناطق الاكثر وعورة . يتباين تأثير الرياح من ناحية سرعتها واتجاهها على بقية العناصر المناخية، إذ تقوم الرياح بنقل الطاقة الحرارية وبخار الماء والرطوبة النسبية إلى المناطق التي تهب عليها، وتسهم الرياح الجافة في ارتفاع معدلات التبخر مما يزيد من حدة الجفاف.

جدول (٢)
المعدل الشهري والسنوي لسرعة الرياح (م/ث) في منطقة الدراسة للمدة (١٩٨٩ - ٢٠١٨)

| المحطة | كانون الثاني | شباط | اذار | نيسان | ايار | حزيران | تموز | آب | ايلول | تشرين الاول | تشرين الثاني | كانون الاول | تشرين الاول | كانون الثاني | تشرين الثاني | كانون الاول | تشرين الاول | تشرين الثاني | كانون الاول |
|------------|--------------|------|------|-------|------|--------|------|-----|-------|-------------|--------------|-------------|-------------|--------------|--------------|-------------|-------------|--------------|-------------|
| دهلان | ٣ | ٣.٣ | ٣.٥ | ٣.٦ | ٤.٣ | ٤.٧ | ٥ | ٤ | ٣ | ٣.١ | ٣.٤ | ٣.٥ | ٣.٦ | ٣.٧ | ٣.٨ | ٣.٦ | ٣.٥ | ٣.٣ | ٣.٧ |
| علي الغربي | ٣.٦ | ٣.٨ | ٤ | ٤.١ | ٤.٥ | ٦.١ | ٦.٢ | ٥.٦ | ٥ | ٣.٦ | ٣.٩ | ٣.٦ | ٣.٥ | ٤.٥ | ٤.٥ | ٣.٥ | ٣.٦ | ٣.٣ | ٣.٧ |

المصدر : ١- وكالة ناسا الامريكية [/https://power.larc.nasa.gov](https://power.larc.nasa.gov)

٢- وزارة النقل، الهيئة العامة للأنواء الجوية والرصد الزلالي، قسم المناخ (بيانات غير منشورة)، بغداد ، ٢٠١٩ .
شكل (٢) المعدل الشهري لسرعة الرياح (م/ث) في منطقة الدراسة للمدة (١٩٨٩ - ٢٠١٨)



المصدر: اعتماداً على جدول (٢).

٣- الرطوبة النسبية :Relative humidity

ترتبط الرطوبة النسبية بعلاقة طردية مع الأمطار وعكسية مع التبخر ودرجة الحرارة، ومن الحقائق العلمية تناقص معدلات الرطوبة النسبية في المناطق الجافة وشبه الجافة، مما ينتج عنه زيادة تكرار نوبات الجفاف، ومن جدول (٣) وشكل (٣) يظهر أن أعلى معدل للرطوبة النسبية كان (٥٥.١) في شهر كانون الثاني في محطة دهليان نتيجة تزايد كميات الامطار المتساقطة في هذا الشهر وبالتالي ارتفاع معدلات الرطوبة، في حين سجلت المحطة ذاتها ادنى معدل للرطوبة النسبية (١٠.٩) في شهر اب. وبالنسبة لمحطة علي الغربي فقد جاء شهر كانون الثاني أيضاً باعلى معدل للرطوبة النسبية (٥٦)، كما جاء ادنى معدل البالغ (١.٩) في شهر تموز، أما المعدلات السنوية لمعدلات الرطوبة في محطات منطقة الدراسة، يتضح أدنى معدل للرطوبة سجلته محطة دهليان إذ بلغ (٣٠)، في حين سجلت محطة علي الغربي معدل بلغ (٣٠.٥).

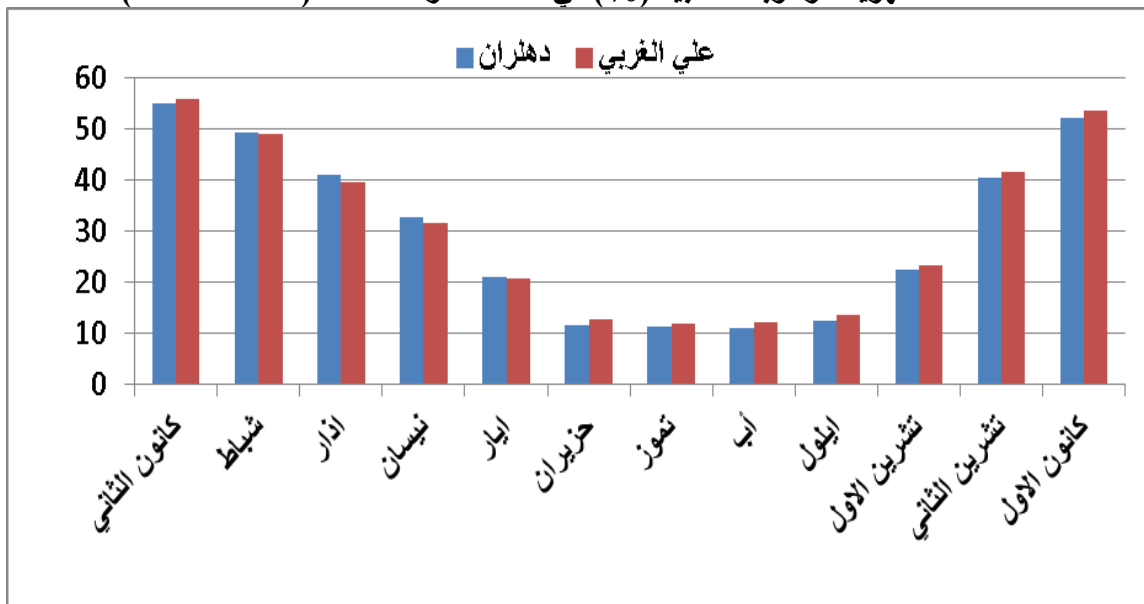
جدول (٣)
المعدلات الشهيرية والسنوية للرطوبة النسبية (%) في منطقة الدراسة لمدة (١٩٨٩-٢٠١٨)

| المعدل السنوي | كانون الاول | تشرين الثاني | تشرين الاول | ايلول | أب | تموز | حزيران | يار | نيسان | اذار | شباط | كانون الثاني | المحطة |
|---------------|-------------|--------------|-------------|-------|------|------|--------|------|-------|------|------|--------------|------------|
| 30 | 52.1 | 40.3 | 22.4 | 12.3 | 10.9 | 11.2 | 11.6 | 20.9 | 32.8 | 40.9 | 49.3 | 55.1 | دهليان |
| 30.5 | 53.6 | 41.5 | 23.4 | 13.6 | 12 | 11.9 | 12.6 | 20.7 | 31.5 | 39.6 | 49.1 | 56 | علي الغربي |

المصدر : ١- وكالة ناسا الأمريكية [/https://power.larc.nasa.gov](https://power.larc.nasa.gov)
 ٢- وزارة النقل، الهيئة العامة للأنواء الجوية والرصد الزئالي، قسم المناخ (بيانات غير منشورة)، بغداد ، ٢٠١٩.

شكل (٣)

المعدلات الشهيرية للرطوبة النسبية (%) في منطقة الدراسة لمدة (١٩٨٩-٢٠١٨)



المصدر: اعتماداً على جدول (٣).

٤- الأمطار :Rain



تتميز الامطار في منطقة الدراسة بميزات امطار المناطق الجافة وشبه الجافة، إذ تكون امطار متذبذبة سريعة التساقط على شكل رخات تشكل تلك الزخات احياناً نصف المجموع المطري الكلي، اما باقي الكميات فتساقط خلال السنة او الموسم المطري. وتترك تلك الزخات اثاراً كبيرة على تربة المنطقة وبالتالي الغطاء النباتي فيها، إذ تتسرب احياناً بفقدان معادن التربة وموادها العضوية التي تزال بفعل انجراف الطبقة السطحية من التربة بفعل قطرات المطر (Rain) أو السيول (water flow) (E. Bergsma and Others, 1996, p6) الناتجة منه.

يظهر من جدول (٤) تباين المجاميع الشهرية والسنوية للأمطار في محطات منطقة الدراسة، ففي محطة دهران يكاد ينعدم تساقط للأمطار (١.٠ ملم) في شهر تموز وأب، اما في بداية فصل الخريف في شهر تشرين الاول فقد كان ادنى معدل الأمطار (٠.٧ ملم)، في حين جاء أعلى معدل للأمطار في شهر كانون الثاني (٥٢.٣ ملم) في نفس المحطة وذلك نتيجة زيادة تكرار المنخفضات الجوية الرطبة في هذا الشهر. اما محطة علي الغربي فقد انعدم تساقط الأمطار في شهر تموز وأب وجاء ادنى معدل تساقط مطري (١.٥ ملم) في شهر تشرين الاول في بداية فصل الخريف، كما سجل أعلى معدل للتساقط المطري (٤٠.٦ ملم) في شهر كانون الثاني من السنة وللمحطة نفسها.

اما المجموع السنوي للأمطار المتتساقطة فقد سجلت محطة دهران أعلى مجموع بواقع (٤٠٦.٣ ملم) يقابلها مجموع مطري مقداره (١٩٠.٢ ملم) في محطة علي الغربي.

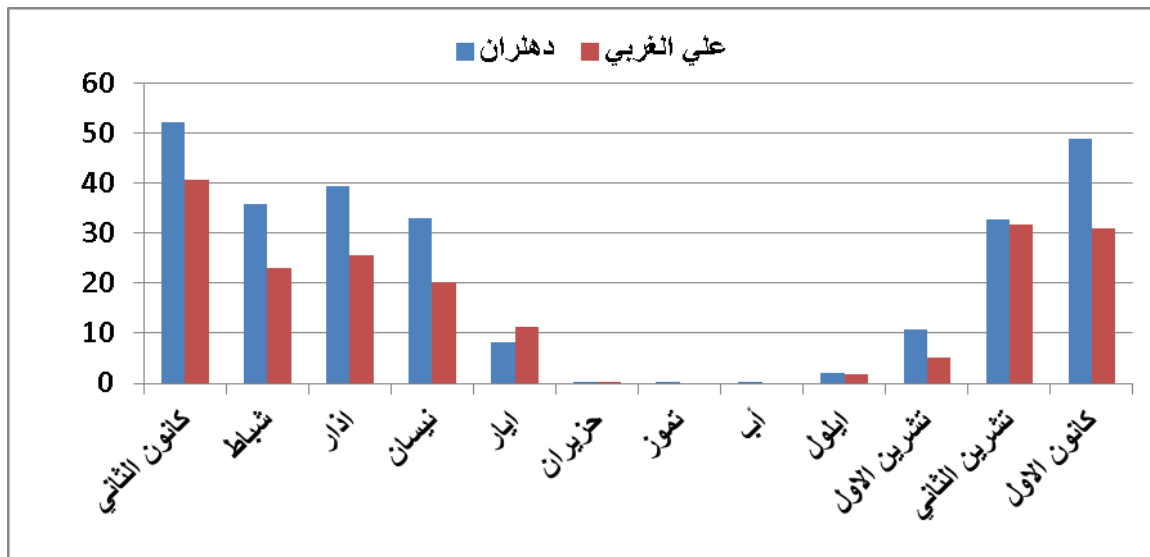
جدول (٤)

المعدلات الشهرية للأمطار المتتساقطة ومجموعها السنوي (ملم) في منطقة الدراسة
للمدة (١٩٨٩ - ٢٠١٨)

| المجموع السنوي | كانون الاول | تشرين الثاني | تشرين الاول | ايلول | أب | تموز | حزيران | ايار | نيسان | اذار | شباط | كانون الثاني | المحطة |
|----------------|-------------|--------------|-------------|-------|-----|------|--------|------|-------|------|------|--------------|------------|
| 263.4 | 48.8 | 32.7 | 10.7 | 2.1 | 0.1 | 0.1 | 0.2 | 8.3 | 32.9 | 39.3 | 35.9 | 52.3 | دهران |
| 190.2 | 30.9 | 31.7 | 5.1 | 1.7 | / | / | 0.1 | 11.2 | 20.3 | 25.5 | 23.1 | 40.6 | علي الغربي |

المصدر : ١- وكالة ناسا الأمريكية [/https://power.larc.nasa.gov](https://power.larc.nasa.gov)
 ٢- وزارة النقل، الهيئة العامة للأنواع الجوية والرصد الزلزالي، قسم المناخ (بيانات غير منشورة)، بغداد ، ٢٠١٩

شكل (٤) المعدلات الشهرية للأمطار المتتساقطة (ملم) في منطقة الدراسة
للمدة (١٩٨٩ - ٢٠١٨)



المصدر: اعتماداً على جدول (٤).

٥- التبخر :Evaporation

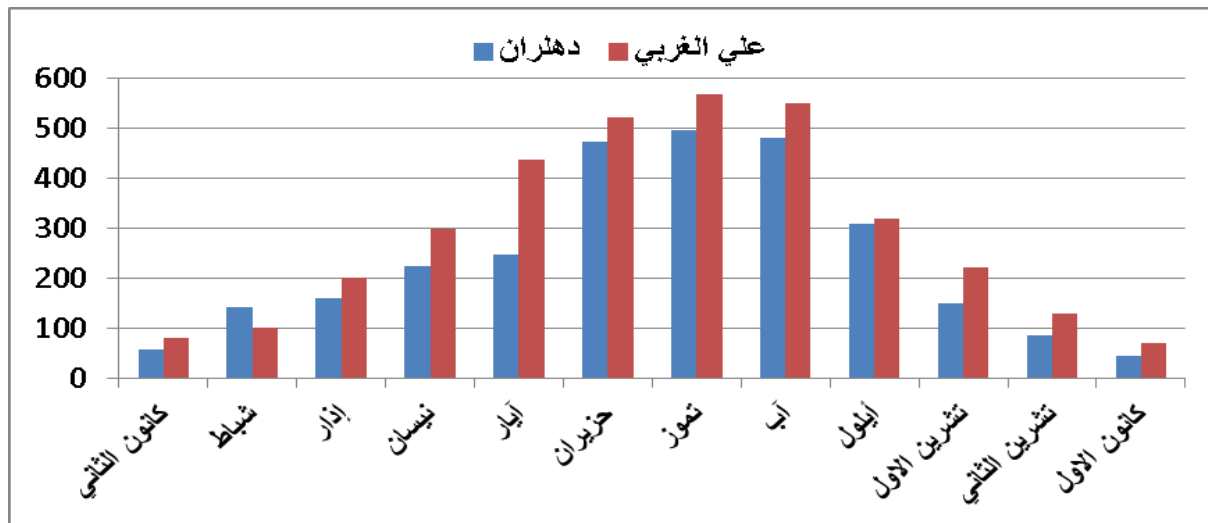
التبخر ظاهرة مناخية لها دور واضح في الدورة الهيدرولوجية وجريان المياه السطحية والمياه الجوفية، إذ يزداد التبخر عند إرتفاع درجات الحرارة وقلة الرطوبة النسبية، مما يعني حدوث الجفاف وتفاقم اضراره في منطقة الدراسة. وبين جدول (٥) المجموع الشهري والسنوي للتبخر، ففي محطة دهلان جاء أدنى مجموع للتبخر (٤٤.٥ ملم) في شهر كانون الاول، أما أعلى مجموع فقد كان في شهر تموز بواقع (٤٩٥.٥ ملم) في المحطة ذاتها وذلك نتيجة لارتفاع درجات الحرارة في هذا الشهر من السنة وسيطرة الكتلة الهوائية المدارية القارية. أما بالنسبة لمحطة علي الغربي فقد جاء أدنى مجموع للتبخر في شهر كانون الاول بواقع (٦٩.٤ ملم)، كما جاء أعلى مجموع للتبخر في شهر تموز بواقع (٥٦٨.٢ ملم). أما المجموع السنوي للتبخر في منطقة الدراسة، يظهر أنّى مجموع سنوي (٢٨٦٨.٨ ملم) في محطة دهلان، في حين سجلت محطة علي الغربي مجموع سنوي أعلى للتبخر بلغ (٣٤٩٧.٣ ملم).

جدول (٥)
المجموع الشهري والسنوي لكميات التبخر (ملم) في منطقة الدراسة
للمدة (١٩٨٩-٢٠١٨)

| المجموع السنوي | كانون الاول | كانون الثاني | تشرين الاول | تشرين الثاني | أيلول | آب | تموز | حزيران | آيار | نيسان | اذار | شباط | كانون الثاني | المحطة |
|----------------|-------------|--------------|-------------|--------------|-------|-------|-------|--------|-------|-------|-------|-------|--------------|------------|
| 2868.8 | 44.5 | 86.1 | 149.4 | 309.7 | 479.2 | 495.5 | 495.5 | 472.8 | 247.5 | 224.6 | 159.9 | 142.5 | 57.1 | دهلان |
| 3497.3 | 69.4 | 130.3 | 222.1 | 319.6 | 548.7 | 568.2 | 521.9 | 435.8 | 297.3 | 201.4 | 102.5 | 80.1 | 80.1 | علي الغربي |

المصدر : ١- وكالة ناسا الأمريكية <https://power.larc.nasa.gov>
٢- وزارة النقل، الهيئة العامة للأنواء الجوية والرصد الزلزالي، قسم المناخ (بيانات غير منشورة)، بغداد ، ٢٠١٩

شكل (٥)
المجموع الشهري لكميات التبخر (ملم) في منطقة الدراسة
للمدة (١٩٨٩-٢٠١٨)



المصدر: اعتماداً على جدول (٥)

ثالثاً: مفهوم مؤشر الأمطار القياسي SPI (Standardized precipitation index) وتباين فئاته في محطات منطقة الدراسة

يحدث الجفاف نتيجة تذبذب وندرة تساقط الأمطار وسوء توزيعها فصلياً خلال السنة في منطقة معينة، لذا تم الاعتماد على مؤشر المطر القياسي (SPI) الذي تم تطويره من قبل العالم الأمريكي McKee عام ١٩٩٣ كدليل نسبي يستخدم المعدل العام للمطر في كل محطة مناخية ضمن المنطقة المدروسة واعتباره حداً فاصلاً بين الجفاف والرطوبة في تصنيف المواسم الجافة والرطبة، وهو مؤشر يتميز بالبساطة والدقة في تقدير الجفاف من حيث مده وتكراره وشديته وخطورته بالإضافة إلى سلاسل زمنية للأمطار لا تقل عن (٣٠) عام.

صنف مؤشر الأمطار القياسي SPI إلى ثمانية أصناف تصف حالة المطر ما بين الجفاف والرطوبة، إذ تتراوح نتائج قيم المؤشر ما بين (-٢ ، ٢) وتزداد قيمة الجفاف كلما اتجهت القيمة نحو السالب والعكس صحيح، إذ كلما زادت قيمة المؤشر نحو الموجب تزداد الرطوبة ويتناقص الجفاف. وكما موضح في جدول (٦).

جدول (٦)

فئات مؤشر المطر القياسي SPI

| التصنيف | قيم SPI |
|-------------------|---------------|
| شديد الرطوبة جداً | ≥ 2 |
| شديد الرطوبة | 1.5 to 1.99 |
| متوسط الرطوبة | 1 to 1.49 |
| معتدل الرطوبة | 0 to 0.99 |
| معتدل الجفاف | -0.99 to 0 |
| متوسط الجفاف | -1.49 to -1 |
| شديد الجفاف | -1.99 to -1.5 |
| شديد الجفاف جداً | ≤ -2 |

Source: Anass M.M.Rasheed , Analysis of Rainfall Drought periods in the north of Iraq using standarzid precipitation index (spi).AL-Rafidain Engineering , vol 18 , NO2 , 2010 ,p63.

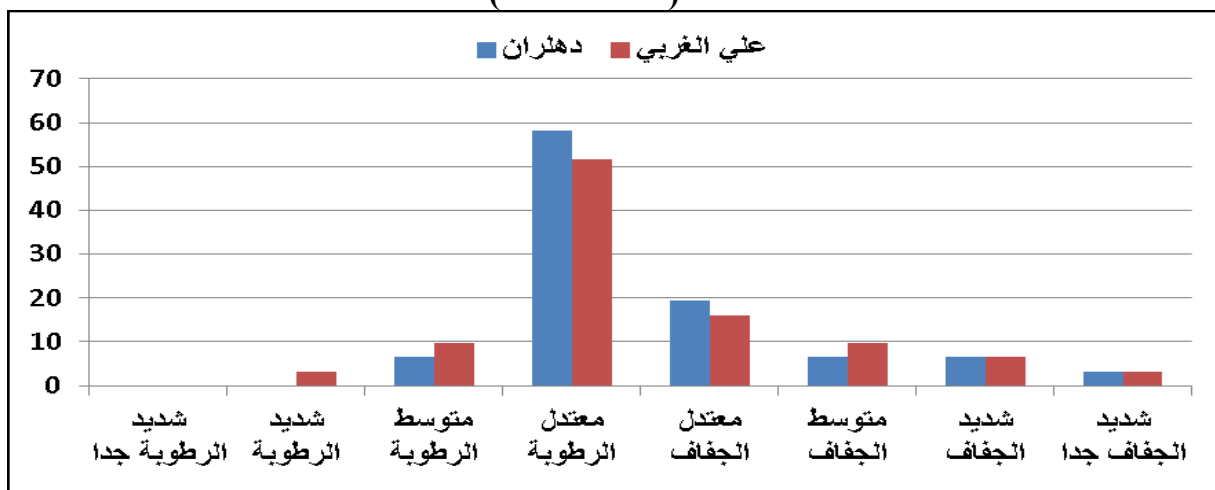
١- تباين فئات مؤشر المطر القياسي SPI سنوياً في محطات منطقة الدراسة للمدة (٢٠١٨-١٩٨٩) يظهر من جدول (٦) تباين في درجات مؤشر المطر القياسي بين محطات منطقة الدراسة فضلاً عن تباينها بين سنة و أخرى، إذ يلاحظ تكرار فئة (معتدل الرطوبة) (١٨ ، ١٦)، بنسبة (٥٨.١ ، ٥٨.١)، (٥١.٩٪) في كل محطة دهران وعلى الغربي على التوالي، ثم تلتها في المرتبة الثانية فئة (معتدل الجفاف) بتكرار بلغ (٦ ، ٥)، بنسبة (١٩.٤ ، ١٦.١٪) في نفس المحطتين السابقتين، في حين لم تسجل (فئة شديد الرطوبة) اي تكرار في كل المحطتين، وقد تراوح بينهما تكرار باقي فئات مؤشر المطر القياسي SPI.

جدول (٧)
تباين فئات مؤشر المطر القياسي SPI سنوياً في محطات منطقة الدراسة
للمدة (٢٠١٨-١٩٨٩)

| النسبة | على الغربي | دهران | | المحطة المناخية |
|--------|------------|--------|---------|------------------|
| | | النسبة | التكرار | |
| - | - | - | - | شديد الرطوبة جدا |
| ٣.٢ | ١ | - | - | شديد الرطوبة |
| ٩.٧ | ٣ | ٦.٥ | ٢ | متوسط الرطوبة |
| ٥١.٩ | ١٦ | ٥٨.١ | ١٨ | معتدل الرطوبة |
| ١٦.١ | ٥ | ١٩.٤ | ٦ | معتدل الجفاف |
| ٩.٧ | ٣ | ٦.٥ | ٢ | متوسط الجفاف |
| ٦.٥ | ٢ | ٦.٥ | ٢ | شديد الجفاف |
| ٣.٢ | ١ | ٣.٢ | ١ | شديد الجفاف جدا |

المصدر : ملحق (١).

شكل (٦)
تباين فئات مؤشر المطر القياسي SPI سنوياً في محطات منطقة الدراسة
للمدة (٢٠١٨-١٩٨٩)



المصدر : جدول (٧)

٢- تباين المواسم الرطبة والجافة فصلياً في محطات منطقة الدراسة للمدة (٢٠١٨-١٩٨٩)

تبين من جدول (٨) وشكل (٧) تباين تكرار مواسم السنة الرطبة والجافة ونسبها بين محطات منطقة الدراسة وحسب فصول السنة، ففي فصل الخريف جاء الموسم الجاف بأعلى تكرارات (١٦ ، ١٧)، بنسبة (٥٤.٢ ، ٥١.٦) % في محطة علي الغربي ودهران على التوالي، في حين سجل الموسم الرطب (١٤ ، ١٥) تكرار بنسبة (٤٥.٢ ، ٤٨.٤) % في المحطتين نفسها، اما في فصل الشتاء فقد سجل تقارب كبير في تكرار المواسم الرطبة والجافة، إذ حصل الموسم الرطب على اعلى تكرارات بواقع (١٦)، بنسبة (٥١.٦) % في كلا المحطتين، يقابلها الموسم الجاف الذي سجل تكرارات بواقع (١٥) تكرار، بنسبة (٤٨.٤) % في كلا المحطتين ايضاً. وفي فصل الربيع يتضح ان اعلى التكرارت (١٩) بنسبة (٦١.٣) % للموسم الرطب في محطة دهران، يقابلها (١٦) تكرار بنسبة (٥١.٦) % في محطة علي الغربي، ويعود ذلك الى زيادة تكرار سقوط الامطار وارتفاع معدلات الرطوبة النسبية. اما بالنسبة للمواسم الجافة فقد سجلت في فصل الربيع اعلى تكرار (١٥) بنسبة (٥١.٦) % في محطة علي الغربي وادنى تكرار (١٢) بنسبة (٣٨.٧) % في محطة دهران.

جدول (٨)

تباین الموسیم الرطبة والجافہ فصلیاً فی محطات منطقه الدراسة

للمدة (٢٠١٨-١٩٨٩)

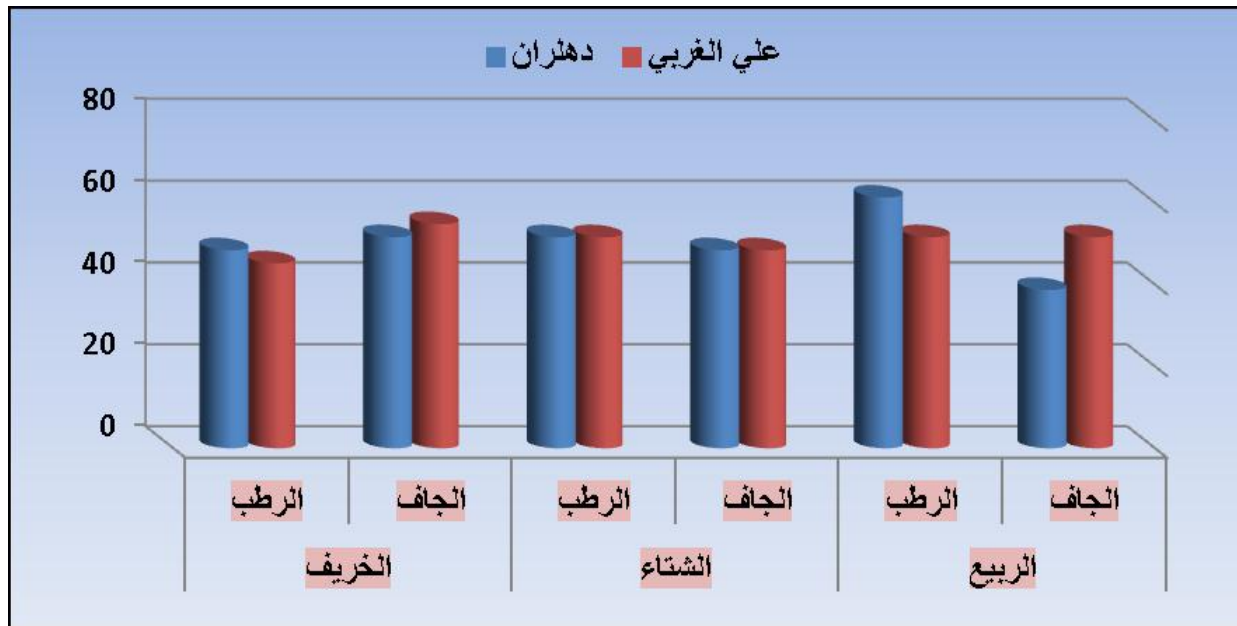
| الربيع | | | | الشتاء | | | | الخريف | | | | المحطة المناخية |
|--------|---------|--------|---------|--------|---------|--------|---------|--------|---------|--------|---------|--------------------|
| الجاف | الرطب | |
| النسبة | التكرار | |
| ٣٨.٧ | ١٢ | ٦١.٣ | ١٩ | ٤٨.٤ | ١٥ | ٥١.٦ | ١٦ | ٥١.٦ | ١٦ | ٤٨.٤ | ١٥ | دهران |
| ٥١.٦ | ١٥ | ٥١.٦ | ١٦ | ٤٨.٤ | ١٥ | ٥١.٦ | ١٦ | ٥٤.٨ | ١٧ | ٤٥.٢ | ١٤ | علي الغربي |

المصدر: الملحق (١).

شكل (٧)

تباین الموسیم الرطبة والجافہ فصلیاً فی محطات منطقه الدراسة

للمدة (٢٠١٨-١٩٨٩)



المصدر: جدول (٨).

٣- تباين فئات مؤشر المطر القياسي SPI فصلياً في محطات منطقة الدراسة للمدة (١٩٨٩-٢٠١٨) يظهر من جدول (٩) وشكل (٨) تباين فئات مؤشر المطر القياسي SPI تبايناً واضحاً في كلا المحطتين في فصل الخريف، ففي المواسم الجافة جاءت فئة (معدل الجفاف) بأعلى تكرار (١٢ ، ١١) بنسبة (٣٥.٥ ، ٣٨.٧)% في محطة علي الغربي ودهران على التوالي، ثم تلتها فئة (متوسط الجفاف) بأعلى تكرار (٤) بنسبة (١٢.٩)% في محطة علي الغربي و (٢) تكرار بنسبة (٦.٥)% في محطة دهران، اما ادنى تكرار فكان في فئة (شديد الجفاف جداً) بواقع تكرار واحد فقط بنسبة (٣.٢)% في كلتا المحطتين. اما المواسم الرطبة فقد سجلت فئة (معدل الرطوبة) أعلى تكرار (٩ ، ٨)، بنسبة (٢٥.٨ ، ٢٩.١)% بما يقارب ربع مدة الدراسة، ثم تلتها فئة (متوسط الرطوبة) بتكرار (٤ ، ٥)، بنسبة (١٦.١ ، ١٢.٩)%، في حين سجلت فئة (شديد الرطوبة جداً) ادنى تكرار إذ سجلت تكرار واحد فقط بنسبة (٣.٢)% في محطة علي الغربي وانعدمت هذه الفئة تماماً في محطة دهران. كما تراوح باقي الفئات بين تلك النسب. اما في فصل الشتاء فقد سجلت المواسم الرطبة أعلى تكرار في فئة (معدل الرطوبة) بواقع (١١) عام بنسبة (٣٥.٥)% في كلتا المحطتين من مجموع سنوات الدراسة، تلتها فئة (متوسط الرطوبة) بواقع (٤) عام بنسبة (١٢.٩)% في المحطتين نفسها، في حين لم تسجل فئة (شديد الرطوبة) اي حالة خلال مدة سنوات الدراسة. وبالنسبة للمواسم الجافة فقد اتضح ان أعلى تكرار في فئة (معدل الجفاف) كان بواقع (١٢ ، ١٣) بنسبة (٣٨.٧ ، ٤١.٩)% في محطة علي الغربي ودهران على التوالي، وهي بذلك تقترب كثيراً من تكرارها في فصل الخريف ولكلتا المحطتين، وفي المرتبة الثانية كانت فئة (متوسط الجفاف) فقد سجلت تكراراً فقط بنسبة (٦.٥)% في محطة دهران فقط ولم تسجل اي تكرار في محطة علي الغربي، في حين جاءت فئة (شديد الجفاف جداً) بواقع تكرار واحد فقط بنسبة (٣.٢)% في كلتا المحطتين خلال سنوات الدراسة، اما ادنى تكرار فكان من نصيب فئة (شديد الجفاف)، إذ لم تسجل ولا تكرار واحد في كلتا المحطتين، كما توزعت فئات مؤشر المطر القياسي SPI المتبقية في فصل الشتاء بين تلك النسب.

جدول (٩)

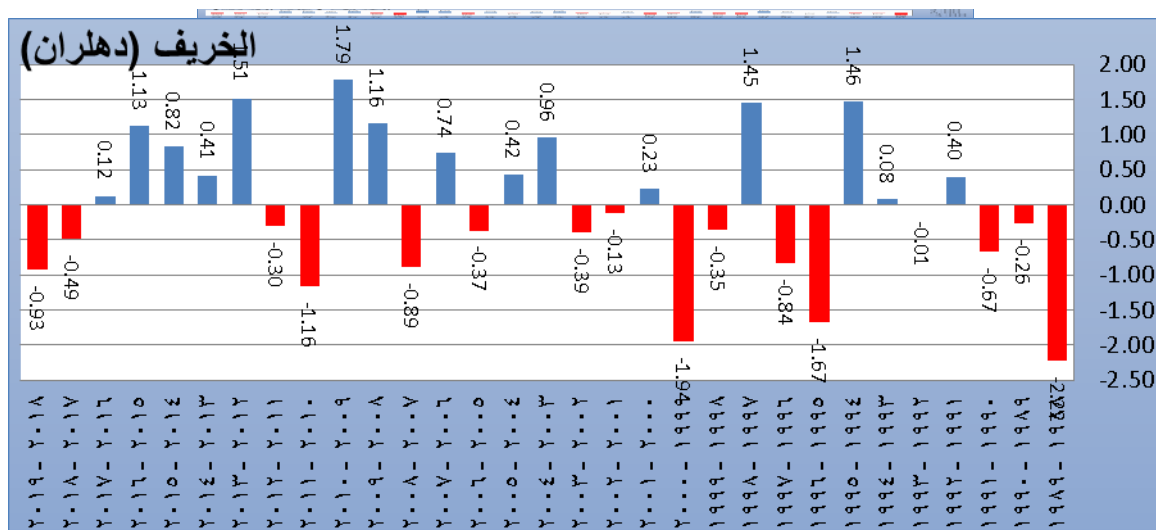
بيانات مؤشر المطر القياسي SPI في فصل الخريف في محطات منطقة الدراسة للمدة (١٩٨٩-٢٠١٨)

| دھران | | علی الغربی | | فات مؤشر SPI |
|--------|---------|------------|---------|-------------------|
| النسبة | التكرار | النسبة | التكرار | |
| - | - | ٣٠.٢ | ١ | شديد الرطوبة جداً |
| ٦٠.٥ | ٢ | - | - | شديد الرطوبة |
| ١٢٠.٩ | ٤ | ١٦٠.١ | ٥ | متوسط الرطوبة |
| ٢٩٠.١ | ٩ | ٢٥٠.٨ | ٨ | معتدل الرطوبة |
| ٣٨٠.٧ | ١٢ | ٣٥٠.٥ | ١١ | معتدل الجفاف |
| ٦٠.٥ | ٢ | ١٢٠.٩ | ٤ | متوسط الجفاف |
| ٣٠.٢ | ١ | ٣٠.٢ | ١ | شديد الجفاف |
| ٣٠.٢ | ١ | ٣٠.٢ | ١ | شديد الجفاف جداً |
| %١٠٠ | ٣١ | %١٠٠ | ٣١ | المجموع الكلي |

المصدر: الملحق (١).

شکل (۸)

بيانات مؤشر المطر القياسي SPI في فصل الخريف في محطات منطقة الدراسة لمدة (١٩٨٩-٢٠١٨)



المصدر: اعتماداً على جدول (٩).

جدول (١٠)

بيانات مؤشر المطر القياسي SPI في فصل الشتاء في محطات منطقة الدراسة للمدة (١٩٨٩-٢٠١٨)

| دھران | | علی الغربی | | SPI فات مؤشر |
|--------|---------|------------|---------|-------------------|
| النسبة | التكرار | النسبة | التكرار | |
| - | - | - | - | شديد الرطوبة جداً |
| ٣٠.٢ | ١ | ٣٠.٢ | ١ | شديد الرطوبة |
| ١٢.٩ | ٤ | ١٢.٩ | ٤ | متوسط الرطوبة |

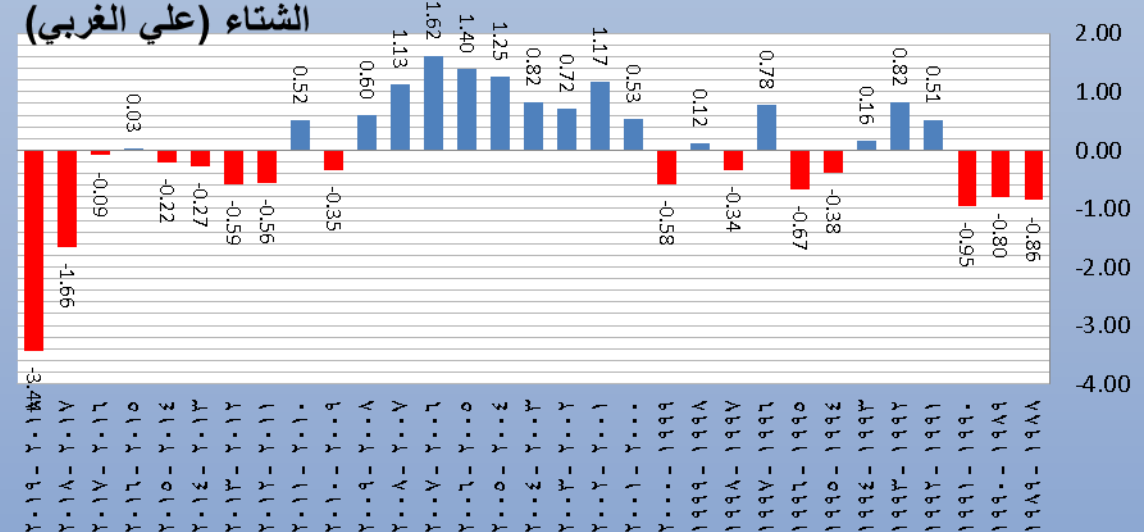
| | | | | |
|------|----|------|----|------------------|
| ٣٥.٥ | ١١ | ٣٥.٥ | ١١ | معدل الرطوبة |
| ٢٨.٧ | ١٢ | ٤١.٩ | ١٣ | معدل الجفاف |
| ٦.٥ | ٢ | - | - | متوسط الجفاف |
| - | - | ٣.٢ | ١ | شديد الجفاف |
| ٣.٢ | ١ | ٣.٢ | ١ | شديد الجفاف جداً |
| ١٠٠% | ٣١ | ١٠٠% | ٣١ | المجموع الكلي |

المصدر: الملحق (١)

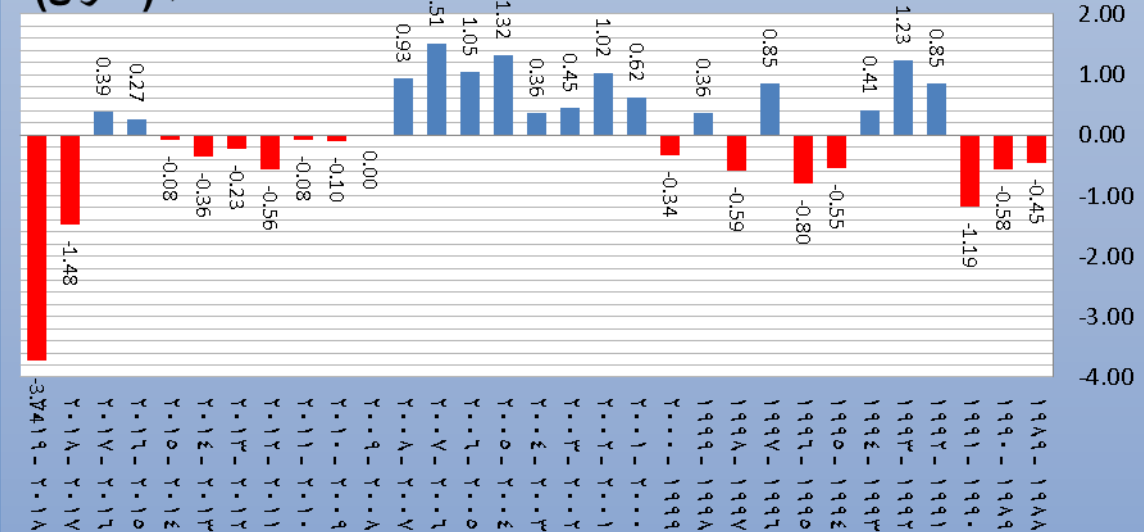
شكل (٩)

فتات مؤشر المطر القياسي SPI في فصل الشتاء في محطات منطقة الدراسة لمدة (١٩٨٩-٢٠١٨) (٢)

الشتاء (على الغربي)



الشتاء (دهلان)



المصدر: اعتماداً على جدول (١٠).

كما يلاحظ من جدول (١١) وشكل (١٠) المتضمن تكرار فتات مؤشر المطر القياسي SPI في فصل الربيع ان الموسم الرطب قد تركزت في فتة (معدل الرطوبة) بأعلى تكرار (٤٥.١٪) بنسبة (١٤٪) في محطة دهلان وهو ملحوظ نصف تكرار باقي فتات مؤشر المطر القياسي SPI في تلك المحطة، يقابلها (١٢٪) تكرار بنسبة (٣٨.٧٪) في محطة علي الغربي، في حين سجلت محطة دهلان أعلى تكرار لفتة (معدل الرطوبة)، ثم ثلثها فتة (متوسط الرطوبة) بواقع (٥٪)، بنسبة (١٦.١٪، ١٦.١٪) في محطة دهلان وعلى الغربي على التوالي أما ادنى فتة (شديد الرطوبة جداً)، إذ انعدمت ظهورها كلياً مثلماً في فصل الشتاء. اما المواسم الجافة فقد كان أعلى تكرار لفتة (شديد الجفاف) بواقع (٧٪، ١٢٪، ٣٨.٧٪) في محطة علي الغربي ودهلان على التوالي، في حين جاءت فتة (شديد الجفاف

جداً) بالمرتبة الثانية بواقع (٢٠%) تكرار بنسبة (٦.٥%) لكلا المحيطتين وقد جاءت بالمرتبة الأخيرة كل من فئتي (شديد الجفاف) و(متوسط الجفاف) في ادنى تكرار بواقع تكراران لفئة (متوسط الجفاف) بنسبة (٦.٥%) في محطة دهران ولم تسجل ظهور في محطة علي الغربي كما سجلت كل المحيطتين تكرارا واحدا فقط بنسبة (٣.٢%) ضمن فئة (شديد الجفاف) خلال مدة سنوات الدراسة.

جدول (١١)

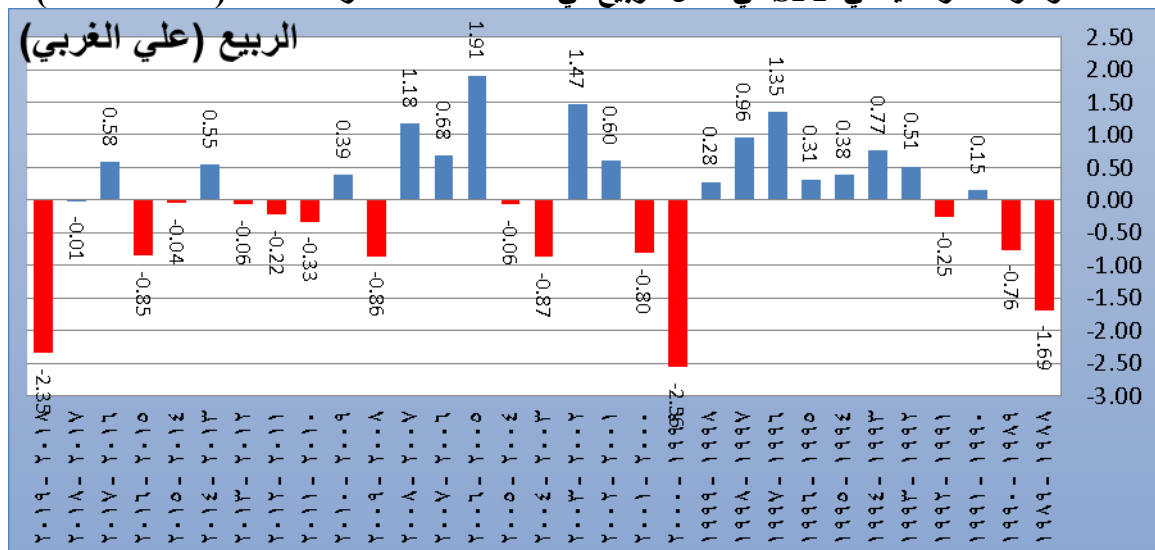
فتات مؤشر المطر القياسي SPI في فصل الربيع في محطات منطقة الدراسة للمدة (٢٠١٨-١٩٨٩)

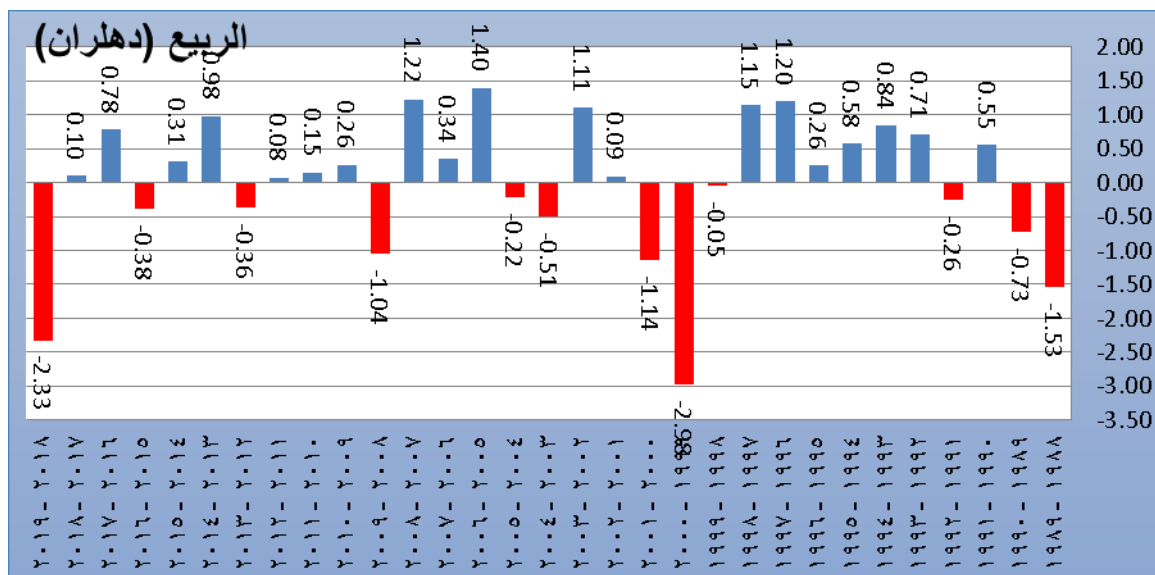
| دهران | | علي الغربي | | فتات مؤشر SPI |
|--------|---------|------------|---------|-------------------|
| النسبة | التكرار | النسبة | التكرار | |
| - | - | - | - | شديد الرطوبة جداً |
| - | - | ٣.٢ | ١ | شديد الرطوبة |
| ١٦.١ | ٥ | ٩.٧ | ٣ | متوسط الرطوبة |
| ٤٥.١ | ١٤ | ٣٨.٧ | ١٢ | معتدل الرطوبة |
| ٢٢.٦ | ٧ | ٣٨.٧ | ١٢ | معتدل الجفاف |
| ٦.٥ | ٢ | - | - | متوسط الجفاف |
| ٣.٢ | ١ | ٣.٢ | ١ | شديد الجفاف |
| ٦.٥ | ٢ | ٦.٥ | ٢ | شديد الجفاف جداً |
| ١٠٠% | ٣١ | ١٠٠% | ٣١ | المجموع الكلي |

المصدر: الملحق (١).

شكل (١٠)

فتات مؤشر المطر القياسي SPI في فصل الربيع في محطات منطقة الدراسة للمدة (٢٠١٨-١٩٨٩)





المصدر: اعتماداً على جدول (١١).

رابعاً: اثر نوبات الجفاف في الغطائين النباتي والمائي في منطقة الدراسة يؤثر الجفاف بشكل كبير وواضح في الغطائين النباتي والمائي، إذ يتراجع كل منهما كلما زادت حدة الجفاف وذلك عند ارتفاع درجات الحرارة وقلة التساقط المطري في المواسم الجافة وبالعكس يزداد نمو الغطاء النباتي ومساحة الغطاء المائي في المواسم المطيرة المرتبطة بأعتدال درجة الحرارة.

١- قرينة (NDVI) لتحليل الغطاء النباتي في المواسم الجافة والمطيرة في المنطقة:-

يعد الغطاء النباتي استجابة مباشرة للمناخ السائد في منطقة الدراسة وذلك من ناحية التطرفات الحرارية والجفاف، كما تشكل النباتات اهمية استثنائية في منطقة الدراسة كونها تمثل مناطق رعي جيدة للمناطق المجاورة في فصل الربيع (خلاوي، ٢٠١٧، ص ٢٦)، إذ ان اغلب النبات الطبيعي في منطقة الدراسة يتمثل بحشائش واعشاب تكيفت لارتفاع درجة الحرارة صيفاً وقصر فصل الأمطار شتاءً، والتي تعد من العوامل البيئية المحددة لنمو النباتات، وسيباً رئيسياً في تدهور الغطاء النباتي وما يتبعه من ميكانيكية التصحر، وبالتالي زيادة حدة الجفاف المائي(الشاوش، ١٩٩٦، ص ١٥٤)، وذلك كون نمو النباتات يتوقف بشكل رئيسي على كمية الرطوبة الفعالة (مجموع الأمطار الساقطة وعوامل التبخر).

تعيش بعض النباتات في منطقة الدراسة حالة الجفاف الذي هو من سمات المنطقة نتيجة تذبذب كميات الأمطار وعدم انتظام سقوطها، فتتأثر هذه النباتات بدرجات مختلفة تبايناً حسب شدة الجفاف، بالإضافة إلى ذلك تتميز الأمطار في منطقة الدراسة بكونها تسقط على شكل رذاذ مطرية غزيرة ولمدة قصيرة مما يؤدي إلى حدوث الجريان السيلاني الجارف، وبالتالي فقدان مياه الأمطار وتجمعها في الأودية والمنخفضات، أما بالنسبة للأراضي المنحدرة وقليلة الاستواء فيكون نصيبها قليل من مياه الأمطار مما يؤثر سلباً على الغطاء النباتي.

اتضح من جدول (١٢) وخريطة (٢) توزيع الغطاء النباتي في منطقة الدراسة وترابع مساحاته وتباین كثافته في منطقة الدراسة للعام ٢٠١٨ الذي ظهر باعلى تكرار للمواسم الجافة، وعليه صنف بأنه الاكثر جفافاً خلال مدة الدراسة. إذ سجل صنف (الاراضي الجرداء) اعلى مساحة قدرها (٢٠٧٠.٧) كم٢ بنسبة (٩١%) من مجموع المساحة الكلية لمنطقة الدراسة، ثم تلاه صنف (الضعيف) بواقع (٨٦.١) كم٢ بنسبة (٤%) من المجموع الكلي، في حين جاء صنف (المعدل) بمساحة قدرها (٧١.٧) كم٢ بنسبة (٣%)، وبالمরتبة الاخير جاء صنف (الكثيف) بنسبة (٢%) بمساحة قدرها (٤٠.٩) كم٢ من اجمالي مساحة المنطقة.

اما بالنسبة للموسم الرطب فقد سجل عام ٢٠٠٧ اعلى نسبة تكرار للموسم الرطب في السنة وعليه ظهر من خريطة (٣) تقلص مساحة (الاراضي الجرداء) مقارنة بالعام الجاف ٢٠١٨، إذ جاءت بمساحة قدرها (١٦٤٢.٣) كم٢ بنسبة (%)٧٢ من اجمالي مساحة المنطقة، وجاء صنف (الضعيف) بمساحة قدرها (٣٥٥.٩) كم٢، بنسبة (%)١٦، ثم تلاه صنف (المعتدل) بمساحة قدرها (١٥٦) كم٢، بنسبة (%)٧ وسجل صنف (الكثيف) ادنى مساحة قدرها (٧٥.٣) كم٢، بنسبة (%)٣ من المساحة الكلية للمنطقة.

جدول (١٢)

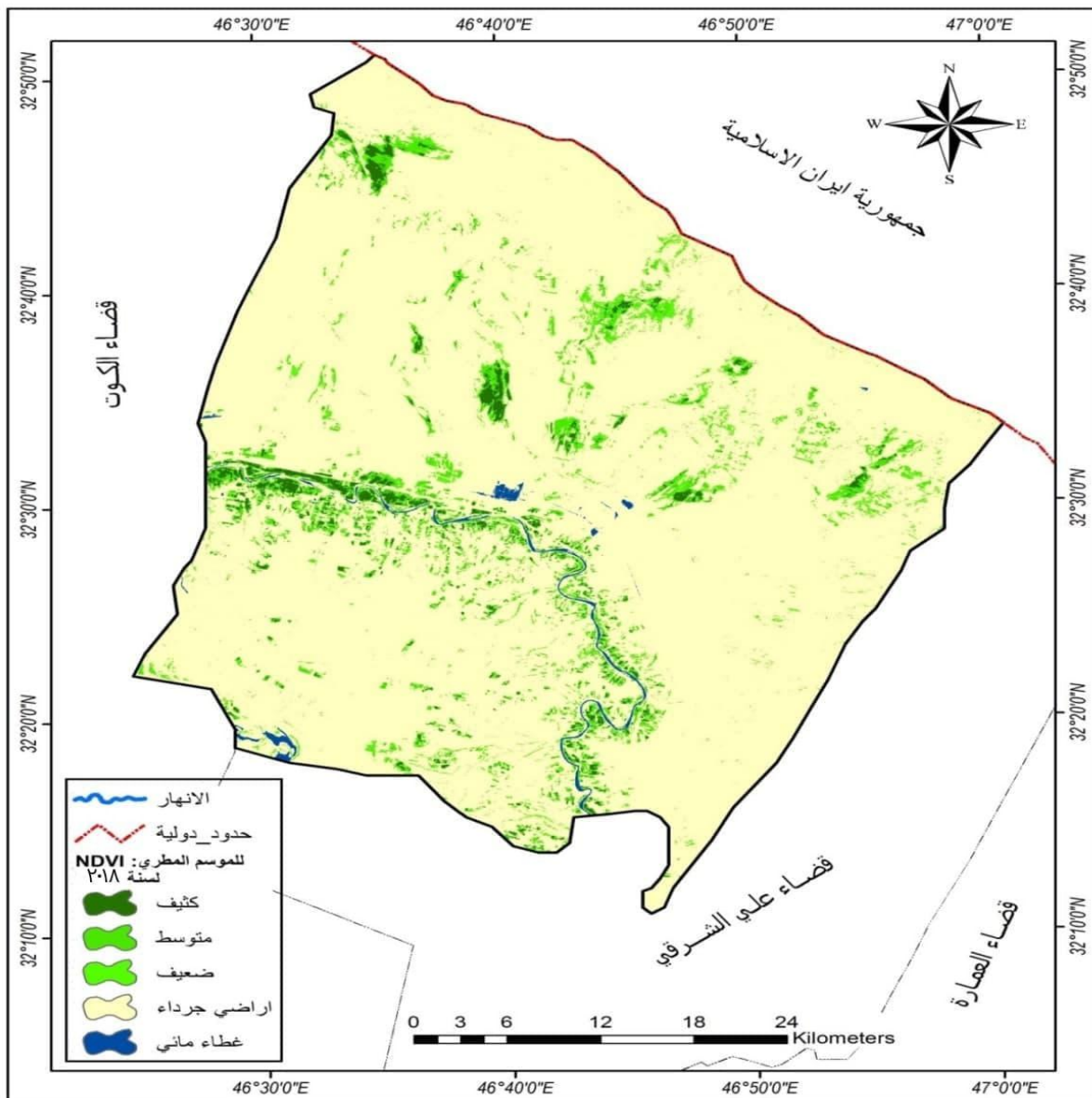
توزيع الغطاء النباتي حسب كثافته في منطقة الدراسة وفق قرينة (NDVI) ومساحة الغطاء المائي حسب قرينة (NDWI) للاعوام الرطبة والجافة للمدة (٢٠١٨-١٩٨٩)

| الاصناف | المواسم الجافة عام ٢٠١٨ | النسبة المئوية | المواسم الرطبة عام ٢٠٠٧ | النسبة المئوية |
|-------------|-------------------------|----------------|-------------------------|----------------|
| كثيف | ٤٠.٩ | %٢ | ٧٥.٣ | %٣ |
| معتدل | ٧١.٧ | %٣ | ١٥٦ | %٧ |
| ضعيف | ٨٦.١ | %٤ | ٣٥٥.٩ | %١٦ |
| أراضي جرداء | ٢٠٧٠.٧ | %٩١ | ١٦٤٢.٣ | %٧٢ |
| غطاء مائي | ١٣.١ | %١ | ٥٣.١ | %٢ |
| المجموع | ٢٢٨٣ | %١٠٠ | ٢٢٨٣ | %١٠٠ |

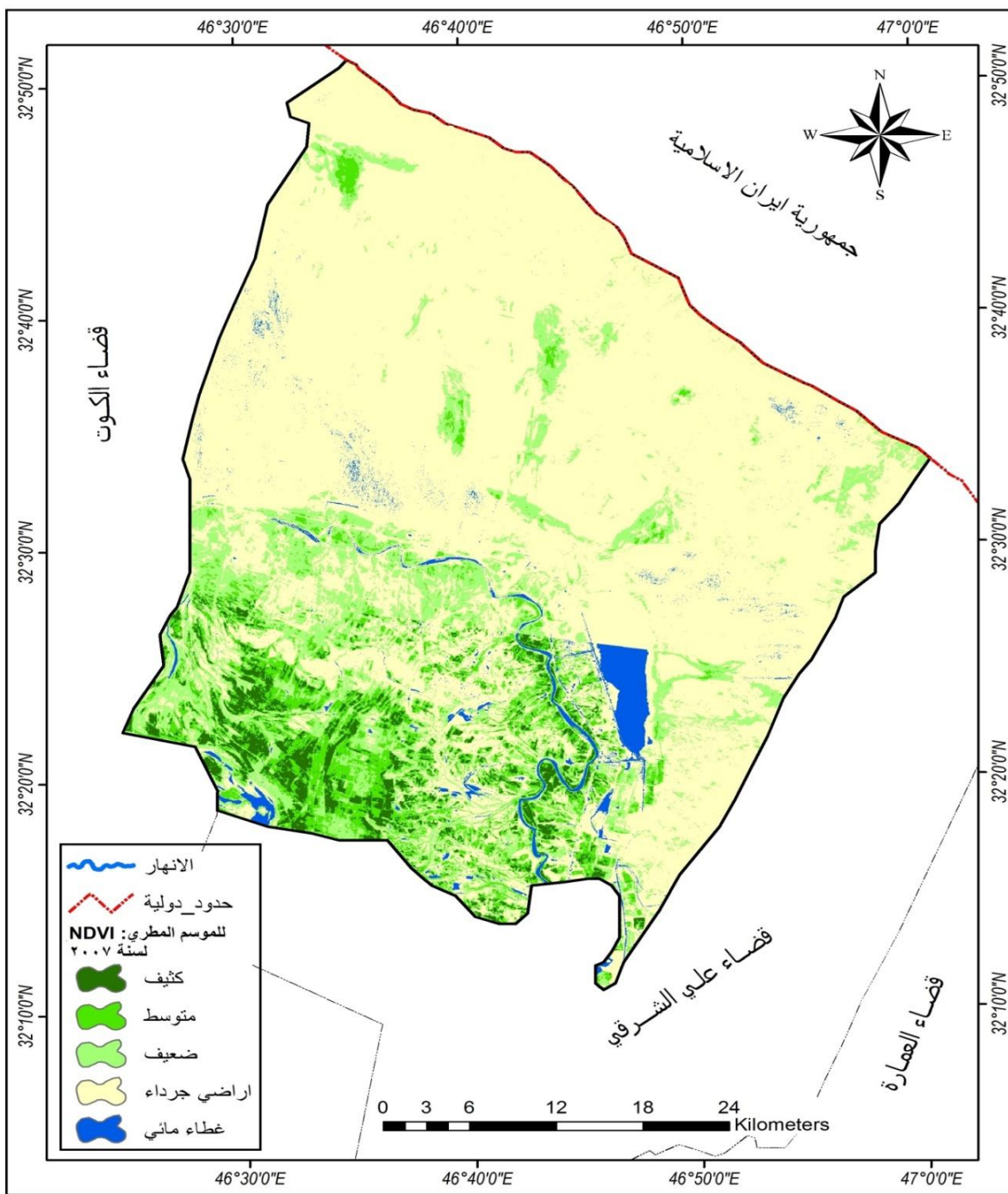
المصدر: اعتماداً على الخرائط (٢، ٣، ٤، ٥).

خريطة (٢)

توزيع الغطاء النباتي حسب كثافته في منطقة الدراسة وفق قرينة NDVI للموسم الجافة عام ٢٠١٨



المصدر: اعتماداً على نموذج الارتفاع الرقمي (DEM) وباستخدام برنامج ARC GIS 10.4 خريطة (٣)
توزيع الغطاء النباتي حسب كثافته في منطقة الدراسة وفق قرينة NDVI للمواسم الرطبة عام ٢٠٠٧



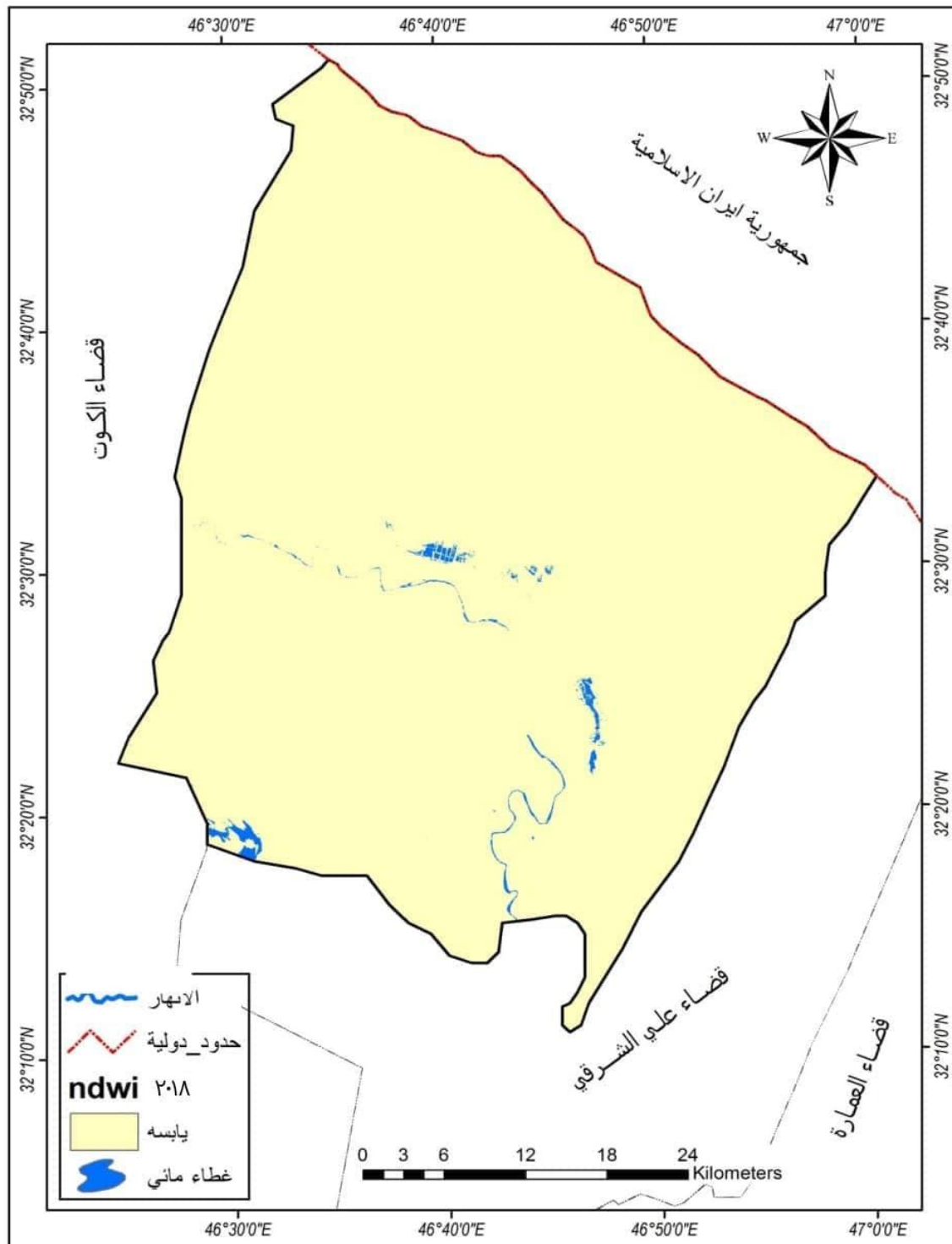
المصدر: اعتماداً على نموذج الارتفاع الرقمي (DEM) وباستخدام برنامج ARC GIS 10.4.

٢- قرينة (NDWI) لتحليل الغطاء المائي في المواسم الجافة والرطبة في المنطقة:-

تتأثر مساحة المسطحات والمجاري المائية بكمية الرطوبة والامطار المتساقطة لاسيما ان منطقة الدراسة تتميز بوجود شبكة كبيرة من الاودية الموسمية التي تعتمد عليها العديد من الانشطة البشرية والاقتصادية. يظهر من جدول (١٢) وخرائط (٤) تقلص مساحة الغطاء المائي في الموسم الجاف للعام ٢٠١٨، إذ سجل مساحة قدرها (١٣.١) كم^٢، بنسبة (١%) من اجمالي مساحة منطقة الدراسة، في حين كانت مساحتها المائية (٥٣.١) كم^٢، بنسبة (٢%) في الموسم الرطب للعام ٢٠٠٧، كما يظهر في خريطة (٥).

خريطة (٤)

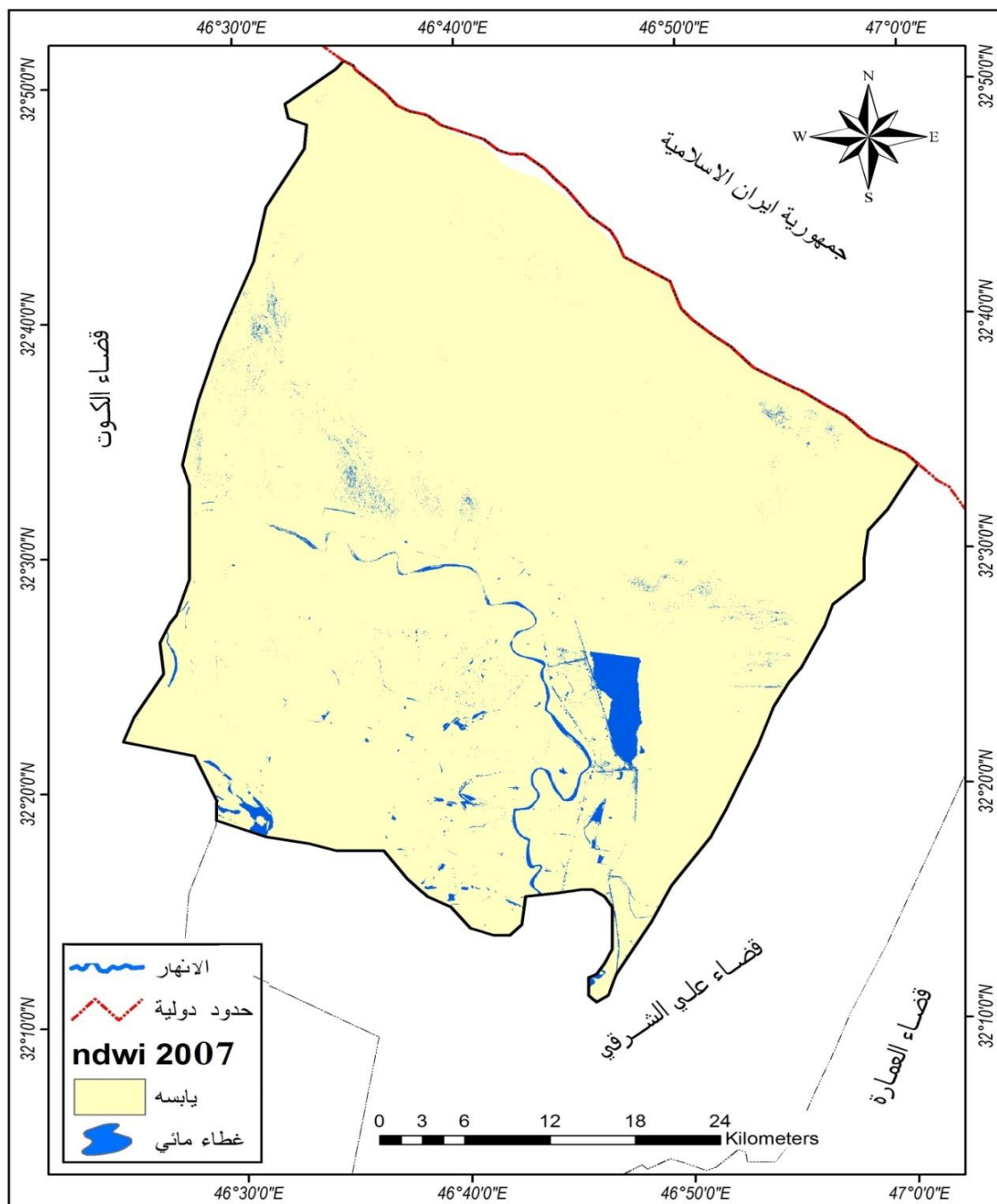
مساحة الغطاء المائي في منطقة الدراسة حسب قرينة NDWI للموسم الجافه عام ٢٠١٨



المصدر: بالاعتماد على نموذج الارتفاع الرقمي (DEM) ويستخدم برنامج ARC GIS 10.4.

خريطة (٥)

مساحة الغطاء المائي في منطقة الدراسة حسب قرينة NDWI للموسم الرطب عام ٢٠٠٧



المصدر: بالاعتماد على نموذج الارتفاع الرقمي (DEM) وباستخدام برنامج ARC GIS 10.4.

٢- هناك تباين فصلي بين المواسم الرطبة والجافة خلال مدة الدراسة، إذ جاء فصل الخريف باعلى تكرار للموسم الجاف في حين تقارب تكرار المواسم الرطبة والجافة في فصل الشتاء، اما في فصل الربيع فقد تفوق تكرار المواسم الرطبة على المواسم الجافة في محطات منطقة الدراسة.

٣- صنف العام ٢٠١٩ بأنه الاكثر جفافاً خلال مدة الدراسة كونه جاء باعلى تكرار للمواسم الجافة، في حين

الاستنتاجات:-

١- تبعاً لمؤشر المطر القياسي SPI يظهر اعلى تكرار في فئة (معدل الرطوبة) (١٨ ، ١٦)، بنسبة (٥٨.١٪)، وهو ما يفوق النصف في كل محطة دهران وعلى الغربي على التوالي، في حين لم تسجل (فئة شديد الرطوبة) اي تكرار في كل المحطتين.



٣. الجبوري، سلام هائف احمد، اسasيات في علم المناخ الزراعي، دار الراية للنشر والتوزيع، الأردن، ٢٠١٥.
٤. الجبوري، سلام هائف احمد، الموازنة المائية المناخية لمحطات الموصل وبغداد والبصرة، إطروحة دكتوراه، كلية التربية / ابن رشد، جامعة بغداد، ٢٠٠٥.
٥. الخرابشة، عاطف علي حامد وعثمان محمد غنيم، الحصاد المائي في الأقاليم الجافة وشبكة الجافة في الوطن العربي، دار صفاء للنشر والتوزيع، عمان، الأردن ، ٢٠٠٩ .
٦. الريحياني، عبد مخور نجم، ظاهرة التصحر في العراق وأثارها في استثمار الموارد الطبيعية، إطروحة دكتوراه (غير منشورة)، كلية الآداب، جامعة بغداد، ١٩٨٦ .
٧. السامرائي، قصي عبد المجيد وعبد مخور الريحياني، جغرافية الأرضي الجافة، دار الحكمة، بغداد، ١٩٩٠ .
٨. الشلاوش، عثمان محمد، الوضع الحالي للمراعي الطبيعية في الجماهيرية الليبية، الندوة الإقليمية حول تطوير المراعي وحماية البيئة في الوطن العربي، المنظمة العربية للتنمية الزراعية، الخرطوم، ١٩٩٦ .
٩. غانم، علي أحمد، المناخ التطبيقي، دار المسيرة، عمان، الأردن، ٢٠١٠ .
١٠. كريم، حسين حميد، التاريخ الجيولوجي الحديث لسهل وادي الرافدين الجنوبي، مجلة الخليج العربي، مركز دراسات الخليج العربي، جامعة البصرة، المجلد ٢٤، العدد ٢، ١٩٩٢ .
١١. تقرير منظمة الأمم المتحدة للتربية والعلم والثقافة، الإطار الوطني للإدارة المتكاملة لمخاطر الجفاف في العراق (دراسة تحليلية)، ٢٠١٤ .
12. Al-Musawi, Mohammed.A. and Bashar Fuad Maarouf, Geographical analysis of the ecological tourism of al-Hammar Marshes in southern Iraq, Misan Journal of Academic Studies, Issue37, 2019.
13. E. Bergsma and Others, Terminology for Soil Erosion and Conservation,

سجل عام ٢٠٠٧ أعلى نسبة تكرار للمواسم الرطبة في السنة وبذلك صنف كونه موسمًا مطيراً خلال مدة الدراسة.

٤- باستخدام تقنية NDVI سجل صنف (الاراضي الجرداء) عام ٢٠١٨ أعلى مساحة قدرها (٢٠٧٠,٧) كم٢ بنسبة (٩١%) من مجموع المساحة الكلية لمنطقة الدراسة، وتقلصت تلك المساحة لتبلغ (١٦٤٢,٣) كم٢، بنسبة (٧٢%) في العام الرطب ٢٠٠٧.

٥- باستخدام تقنية NDWI ظهر تراجع مساحة الغطاء المائي في الموسم الجاف للعام ٢٠١٩ ، إذ سجل مساحة قدرها (١٣.١) كم٢، بنسبة (١%) من إجمالي مساحة منطقة الدراسة، في حين كانت المساحة المائية بواقع (٥٣.١) كم٢، بنسبة (٩٢%) في الموسم الرطب للعام ٢٠٠٧.

التوصيات:

من خلال النتائج التي توصلت إليها الدراسة يوصي الباحث بالاتي:

١- الاهتمام بتطوير محطات الرصد الجوي في عموم منطقة الدراسة.

٢- دراسة التغيرات المناخية والتنبؤ بموجات الجفاف المتوقعة.

٣- استبطاط أصناف نباتات من غابات وأعشاب وحشائش تحمل الظروف المناخية القاسية.

٤- ضرورة رصد المشاكل الناتجة من الجفاف منها ملوحة التربة وإنتاجية الأرض بواسطة التقنيات الحديثة لرصد هذه التغيرات.

المصادر:-

١. البديري، احمد لفتة حمد، مؤشرات التغير المناخي وأثرها في زيادة مظاهر في محافظة بابل ، رسالة ماجستير (غير منشورة)، كلية التربية / ابن رشد، جامعة بغداد، ٢٠١٢ .

٢. الجبوري، بثينة سلمان محمد، الدلائل الباليнологية للتغيرات المناخية والبيئة في المدة الرباعية لمنطقة السهل الرسوبي جنوب العراق، رسالة ماجستير(غير منشورة)، كلية العلوم، جامعة بغداد، ١٩٩٧ .

International Society of Soil Science,
International Institute for Aerospace,
Survey and Earth Sciences,
Wageningen, Netherlands, 1996.

14. Khallawi, Qasim Mahawi, Geographical analysis of the settlement potentialities in the teeb area in misan, Misan Journal of Academic Studies, Issue31, 2017.
15. Maarouf, Bashar Fuad, Geomorphological characteristics of the eastern Tigris region between Shihabi and Hawizeh Marsh in southeastern Iraq, Misan Journal of Academic Studies, Issue26, 2017.
16. Rasheed, Anass M.M. , Analysis of Rainfall Drought periods in the north of Iraq using standarzid precipitation index (spi).AL-Rafidain Engineering , vol 18 , NO2 , 2010.